

Ю. А. САМОЙЛОВИЧ, А. В. КАВАДЕРОВ,  
В. И. ТИМОШПОЛЬСКИЙ, И. А. ТРУСОВА,  
С. М. КОЗЛОВ, О. Г. ХОПОВА, БГПА

## ЗАКОНОМЕРНОСТИ НАГРЕВА МАССИВНЫХ ТЕЛ ИЗЛУЧЕНИЕМ В ТЕОРЕТИЧЕСКОМ ПРОТИВОТОКЕ

УДК 669.046:536.12:518.61

В отечественной черной металлургии для нагрева стальных слитков и заготовок перед прокаткой получили распространение трехзонные методические печи, состоящие из методической зоны *I*, сварочной зоны *II* и зоны томления *III* (рис. 1). Для зон *I* и *II*, составляющих от 60 до 80% общей протяженности печи, теплообмен между греющими газами и нагреваемыми изделиями (слитками, заготовками) происходит по схеме противотока. Упрощенные методы расчетов нагрева металла в методических печах изложены в монографиях и учебных пособиях [1–4]. Обычно рекомендации по расчету нагрева металла в методических печах сводятся к раздельному расчету отдельных зон, для каждой из которых рекомендуется принимать определенное значение усредненной температуры теплоносителя ( $t_r$  или  $t_{печ}$ ) и коэффициента теплопередачи ( $\alpha$ ). Очевидно, что такой подход оправдан для сварочной и томильной зон печи, однако непригоден для методической зоны *I*, где температура греющих газов претерпевает су-

щественное изменение — от 600–650 до 1250–1300°C. Строгая постановка задачи о теоретическом противотоке между газом и металлом с учетом теплообмена между ними по закону излучения Стефана—Больцмана приведена в работе С. Е. Ростковского [5]. Аналитическое решение задачи, полученное С. Е. Ростковским, относится к частному случаю нагрева изделий как "термически тонких тел" (термин Г. П. Иванцова [6]), для которых можно пренебречь перепадом температуры по сечению нагреваемой заготовки.

Ниже приводятся постановка и результаты численного решения более общей задачи о нагреве излучением "термически массивных тел" (заготовок плоской формы) в теоретическом противотоке.

Предположим, что в методической зоне печи устанавливается некоторое тепловое равновесие между газом и металлом. Кроме того, допустим, что излучение вдоль печи отсутствует и из одного сечения в другое переносится лишь физическое тепло металла и газа. Далее используем предположение о том, что физические свойства излучателя (греющих газов) и металла (заготовок) сохраняются неизменными. При этом остается постоянным и "отношение водяных чисел" металла и газов [5] за все время нагрева:

$$m = \frac{G_M c_M}{B_r V_r c_r} = \text{const.} \quad (1)$$

Запишем систему уравнений для нагрева плоского слоя заготовок в теоретическом противотоке: уравнение теплопроводности

$$\frac{\partial T}{\partial \tau} = a \frac{\partial^2 T}{\partial x^2}, \quad (2)$$

граничные условия для верхней и нижней поверхностей плиты

$$\alpha(T_r^4 - T_{пов}^4) = \lambda_M \left( \frac{\partial T}{\partial x} \right)_{x=S}, \quad \text{при } x = S, \quad (3a)$$

$$\frac{\partial T}{\partial x} = 0 \quad \text{при } x = 0, \quad (36)$$

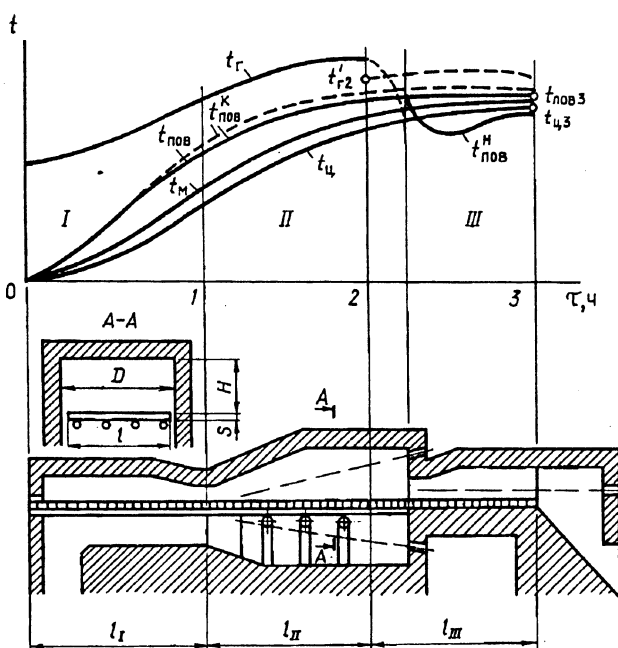


Рис. 1. Схема трехзонной методической печи и процесса нагрева металла: *I*, *II*, *III* — зоны печи; 1, 2, 3 — границы зон

уравнение теплового баланса металла и газов

$$dT_{\Gamma} = md\bar{T}_M, \quad (4)$$

начальное условие

$$T_M = T_{\text{нач}} = \text{const при } \tau = 0. \quad (5)$$

В уравнениях (1)–(5) приняты обозначения:  $G_M$  — производительность печи;  $c_M$ ,  $\lambda_M$  — соответственно удельная теплоемкость и теплопроводность металла;  $B_{\Gamma}$  — расход топлива;  $V_{\Gamma}$  — удельный объем продуктов сжигания топлива;  $T_{\Gamma}$ ,  $T_{\text{пов}}$ ,  $\bar{T}_M$  — соответственно температура газа, поверхности заготовки и среднемассовая температура металла.

Вводя безразмерные комплексы и симплексы: критерий Фурье  $Fo = \alpha\tau / S^2$ ;

$$\text{критерий Старка } Sk = \frac{\sigma S}{\lambda} T_{\Gamma_2}^3; \theta_M = \frac{T_M}{T_{\Gamma_2}}, \quad X = \frac{x}{S},$$

$$\bar{\theta}_M(\bar{Fo}) = \int_0^{x-1} \theta(x, Fo) dx, \text{ где } T_{\Gamma_2} \text{ — температура отходящих из печи газов, приведем исходную систему уравнений (2) — (5) к виду}$$

$$\frac{\partial \theta}{\partial Fo} = \frac{\partial^2 \theta}{\partial X^2}, \quad (6)$$

$$Sk(\theta_{\Gamma}^4 - \theta_{\text{пов}}^4) = \frac{\partial \theta}{\partial X} \text{ при } X = 1, \quad (7)$$

$$\frac{\partial \theta}{\partial X} = 0 \text{ при } X = 0, \quad (8)$$

$$dT_{\Gamma} = md\bar{\theta}_M, \quad (9)$$

$$\theta(X, 0) = \theta_0 \text{ при } Fo = 0. \quad (10)$$

Решение задачи (6)–(10) осуществлено численным конечно-разностным методом с использованием гидроинтегратора, описание которого приведено в работе А. В. Кавадера [7]. В результате многовариантных расчетов установлена зависимость относительной (безразмерной) температуры в сечении плоской заготовки от основных критериев процесса:

$$\theta(X, Fo) = F(Sk, Fo, X, m, \theta_0).$$

При этом значения параметров  $m$  и  $\theta_0$  варьировали в следующих пределах:  $m = 0,2, 0,5, 0,8, 1,25$  и  $2,0$ ;  $\theta_0 = 0,3, 0,5$  и  $0,8$ , а значения критерия Старка в расчетах принимали равными:  $Sk = 0,1, 0,2, 0,5, 1,0$  и  $1,5$ , что соответствовало реальным условиям нагрева стальных заготовок в методических печах.

На рис. 2 и 3 показано изменение основных показателей участников теплообмена (металла, газа) в зависимости от критерия Фурье для двух параметров:  $m_0 = 0,5, Sk = 0,5$  (рис. 2) и  $m_0 = 1,25, Sk = 0,2$  (рис. 3) при задании  $\theta_0 = 0,3$ .

Распределение температуры по сечению нагреваемой заготовки приведено на рис. 4 при задании  $m = 0,5, Sk = 0,05, \theta_0 = 0,3$  для ряда значений критерия

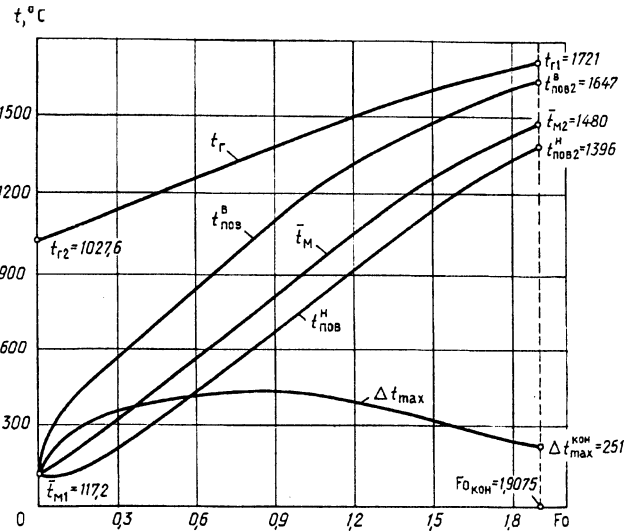


Рис. 2. Результаты расчета нагрева плиты излучением в противотоке при задании  $m = 0,5, Sk = 0,5, \theta_0 = 0,3$ ;  $t_{\Gamma}$ ,  $t_{\text{пов}}$ ,  $\bar{t}_M$  — соответственно температуры греющих газов, поверхности металла и среднемассовая по сечению плиты

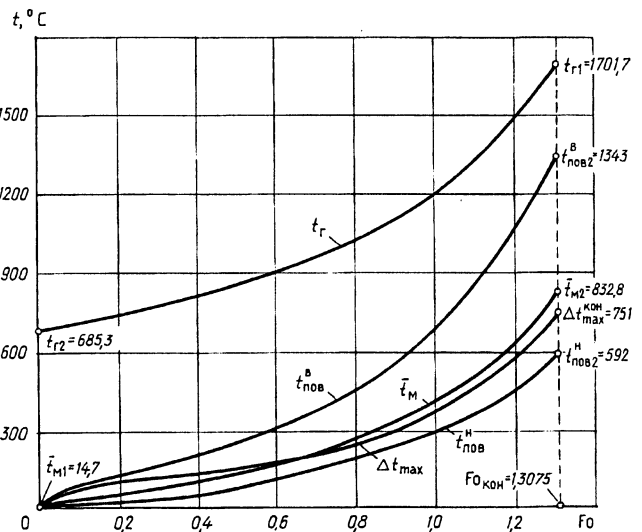


Рис. 3. То же, что на рис. 2 при задании  $m = 1,25, Sk = 0,2, \theta_0 = 0,3$

рия Фурье: от 0,038 до 0,511. Следует отметить, что реальным условиям нагрева стальных изделий в печи соответствует лишь часть графиков, представленных на рис. 2 и 3, ограниченная значениями температуры поверхности заготовок  $T_{\text{пов}} \leq 1200^{\circ}\text{C}$ , чему соответствуют значения критерия Фурье:  $Fo = 1$  (рис. 2) и  $Fo = 1,25$  (рис. 3). Аналогично и для расчетных кривых распределения температуры по сечению заготовки при задании  $m = 0,5, Sk = 0,05$  и  $\theta_0 = 0,3$  реальным условиям отвечают значения  $Fo \leq 0,2$ , когда  $T_{\text{пов}} \leq 1200^{\circ}\text{C}$ . Характер изменения во времени температур металла и греющих газов в значительной мере

зависит от отношения водяных чисел  $m = \frac{G_M c_M}{B_{\Gamma} V_{\Gamma} c_{\Gamma}}$  (рис. 5–7).

Сложный характер динамики температурного поля заготовок для условий противотока оставляет

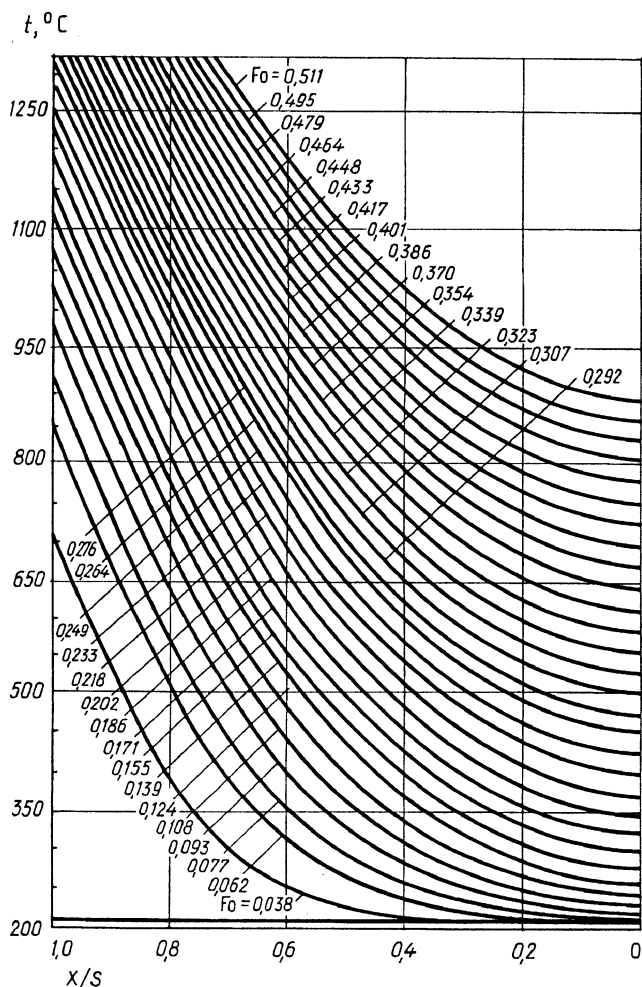


Рис. 4. Распределение температуры по сечению плиты при задании  $m = 0,5$ ,  $Sk = 0,05$ ,  $\theta_0 = 0,3$

мало возможностей для наглядного отражения указанной динамики в графической форме. В связи с этим представляется целесообразным разработку упрощенной (инженерной) методики расчета нагрева заготовок излучением в условиях противотока.

Используя выражение (1), разность расходов физического тепла потоков металла и газа представим в виде произведения "водяного" эквивалента на постоянную температуру ( $T_c$ ):

$$T_r c_r V_r B_r - c_m G_m \bar{T}_m = c_r V_r B_r T_c = \text{const},$$

откуда найдем

$$T_c = T_r - m \bar{T}_m = \text{const}; \quad (11)$$

или в безразмерных переменных

$$\theta_c = \theta_r - m \bar{\theta}_m. \quad (12)$$

При нагреве металла в случае  $m < 1$  температуры газа и металла сближаются между собой, стремясь к некоторой предельной относительной температуре

$$\theta_c = \frac{\theta_{r2} - m \bar{\theta}_{m2}}{1 - m} = \frac{1}{1 - m}.$$

Для термически тонких тел представление о

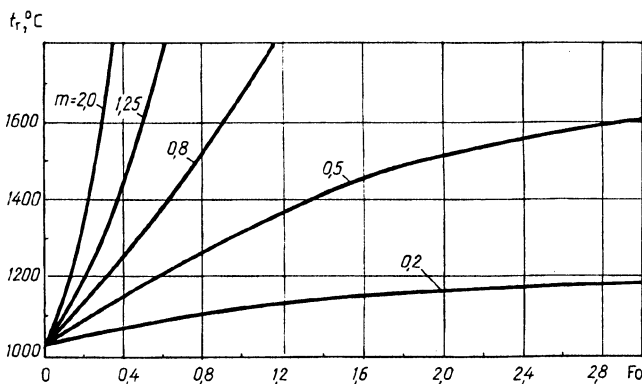


Рис. 5. Зависимость температуры газа от критерия Фурье при задании  $Sk = 0,5$ ,  $\theta_0 = 0,5$  и нескольких значений параметра  $m$

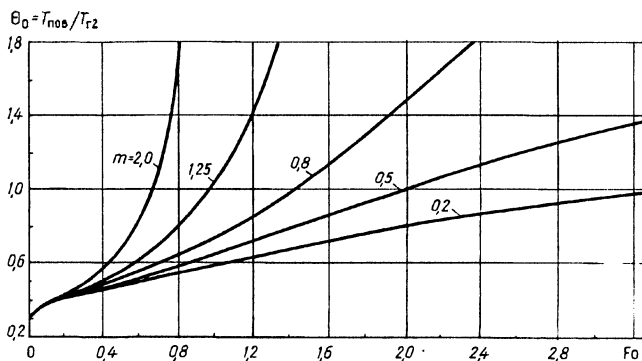


Рис. 6. Зависимость относительной температуры верхней поверхности плиты  $\theta_0 = T_{\text{нов}}/T_{r2}$  от критерия Фурье при задании  $\theta_0 = 0,3$ ,  $Sk = 0,2$  и нескольких значений параметра  $m$

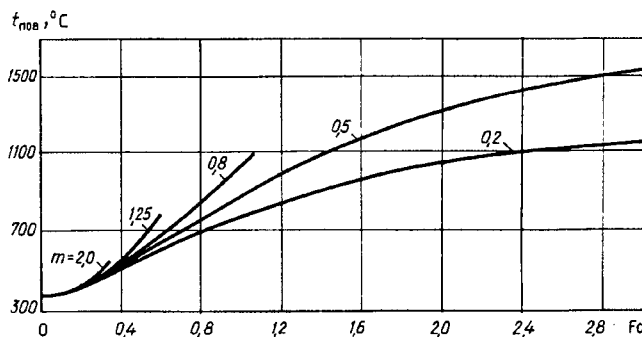


Рис. 7. Зависимость температуры нижней (адиабатической) поверхности плиты от критерия Фурье при задании  $\theta_0 = 0,5$ ,  $Sk = 0,5$  и нескольких значений параметра  $m$

предельной (постоянной) температуре  $T_c$  впервые введено в работе С. Е. Ростковского [5]. Ниже излагается обобщение такого подхода для "термически массивных тел" (заготовок).

Определим количество тепла, переданного от потока газов к металлу на участке поверхности нагрева  $dF$  по формуле:

$$d\theta = \sigma (\theta_r^4 - \theta_{\text{нов}}^4) T_{r2}^4 dF,$$

или, учитывая, что, согласно (12),  $\theta_r = \theta_c + m \bar{\theta}_m$ , где  $\sigma$  — приведенный коэффициент излучения:

$$dQ = \sigma \left[ (\theta_c + m \bar{\theta}_m)^4 - \theta_{\text{нов}}^4 \right] T_{r2}^4 dF. \quad (13)$$

Перенос количества тепла приводит к приросту теплосодержания металла на величину

$$dQ = c_M G_M d\bar{\theta}_M T_{r2}. \quad (14)$$

Приравнявая правые части выражений (13) и (14), получаем

$$\frac{\sigma T_{r2}^3}{c_M G_M} dF = \frac{d\bar{\theta}_M}{(\theta_c + m\bar{\theta}_M)^4 - \theta_{пов}^4}. \quad (15)$$

Интегрируя обе части уравнения (15) и переходя к безразмерным переменным, имеем

$$Sk \int_{Fo_1}^{Fo_2} dFo = \int_{\bar{\theta}_{M1}}^{\bar{\theta}_{M2}} \frac{d\bar{\theta}_M}{(\theta_c + m\bar{\theta}_M)^4 - \theta_{пов}^4}. \quad (16)$$

Допустим, что распределение температуры по сечению нагреваемых заготовок можно выразить формулой

$$\theta(X, Fo) = \theta_{пов}(Fo) - \Delta\theta_m(Fo) f(X), \quad (17)$$

где  $\Delta\theta_m$  — максимальная разность относительных температур по сечению заготовки. Используя формулу (17), найдем выражение среднemasовой температуры в сечении заготовки:

$$\bar{\theta}_M = \int_0^1 \theta dX = \int_0^1 [\theta_{пов} - \Delta\theta_m f(X)] dX,$$

или

$$\bar{\theta}_M = \theta_{пов} - \Delta\theta_m m_0, \quad (18)$$

где параметр  $m_0$  равен:

$$m_0 = \int_0^1 f(X) dX.$$

Далее составим уравнение баланса тепла на поверхности нагрева с учетом теплообмена по закону Стефана—Больцмана

$$\sigma(T_r^4 - T_{пов}^4) = \lambda \left( \frac{\partial T}{\partial x} \right)_{x=S},$$

или в безразмерных переменных

$$\sigma T_{r2}^3 (\theta_r^4 - \theta_{пов}^4) = \frac{\lambda}{S} \left| \frac{\partial \theta}{\partial x} \right|_{x=1}.$$

С учетом выражения (17) находим

$$Sk(1 - \theta_{пов}^4) = n_0 \Delta\theta_m, \quad (19)$$

где

$$n_0 = - \left| \frac{\partial \theta}{\partial X} \right|_{X=1}.$$

Параметры  $m_0$  и  $n_0$  характеризуют функцию распределения температуры по сечению заготовки  $f(x/S)$ . Отметим, что изменение во времени параметров  $m_0$  и  $n_0$  возможно лишь в том случае, если изменяется во времени вид функции  $f(x/S)$ . Для последующих выкладок весьма важно наблюдение за поведением функции  $f(x/S)$  в процессе нагрева металла.

На рис. 8 представлено изменение функции  $f(X)$  в зависимости от критерия Фурье, найденное путем численного решения задачи теплопроводности (6)—(10) при задании параметров  $m = 0,8$ ,  $Sk = 0,2$ ,  $\theta_0 = 0,3$  для нескольких характерных сечений заготовки:  $X = 0,1, 0,3, 0,5, 0,7$  и  $0,9$ .

Из рисунка следует, что по прошествии некоторого начального периода, определяемого величиной критерия  $Fo \approx 0,3-0,4$ , значения функции  $f(X)$  во всех указанных сечениях стабилизируются. К примеру, для сечения  $X = 0,5$  стабилизированные значения функции  $f(X)$  в зависимости от критерия Старка изменяются от 0,75 до 0,77 (рис. 9). Соответственно и значения параметров  $m_0$  и  $n_0$  (а также отношение  $m_0/n_0$ ) принимают для стадии стабилизации (при  $Fo \geq 0,3-0,4$ ) некоторые неизменные значения, зависящие от величины критерия Старка ( $Sk$ ) и отношения водяных чисел ( $m$ ). На рис. 10, а, б представлена зависимость отношения  $m_0/n_0$  и параметра  $n_0$  от критерия Старка (при различных значениях  $m$ ), найденная путем обработки результатов численного решения задачи теплопроводности (6)—(10).

Максимальную разность относительных температур по сечению плиты определим по формуле (19)

$$\Delta\theta_m = \frac{Sk}{n_0} (\theta_r^4 - \theta_{пов}^4) \quad (20)$$

и подставим в формулу (18).

В результате выражение среднemasовой температуры по сечению плиты примет вид

$$\bar{\theta}_M = \theta_{пов} - Sk \frac{m_0}{n_0} (\theta_r^4 - \theta_{пов}^4). \quad (21)$$

С учетом последнего выражения выполним интегрирование балансового уравнения (16) и получим общее решение задачи

$$Sk(Fo_2 - Fo_1) = (\varphi_2 - \varphi_1) + Sk \frac{m_0}{n_0} (\psi_2 - \psi_1), \quad (22)$$

где

$$\varphi = \varphi(\theta_{пов}) = \frac{1}{4} (m^2 + 1) \ln \frac{\theta_{пов}(m+1)+1}{\theta_{пов}(m-1)+1} - \frac{1}{2} m \ln \frac{(1+m\theta_{пов})^2 + \theta_{пов}^2}{(1+m\theta_{пов}) - \theta_{пов}^2} - \frac{1}{2} (m^2 - 1) \operatorname{arctg} \frac{\theta_{пов}}{1+m\theta_{пов}}; \quad (23)$$

$$\psi = \psi(\theta_{пов}) = \chi(m) \ln(1 - \theta_{пов}^4). \quad (24)$$

Коэффициент  $\chi = \chi(m)$  зависит от параметра  $m$ , принимая ряд значений от 0,5 до 1,5 при изменении параметра  $m$  от 0,2 до 1,5.

Формулы (20)—(24) составляют основу упрощенной (инженерной) методики расчета нагрева заготовок плоской формы для условий нагрева излучением в теоретическом противотоке, характерном для методической зоны нагревательных печей. Последовательность вычислений при использовании упрощенной методики расчета сводится к выполнению следующих операций.

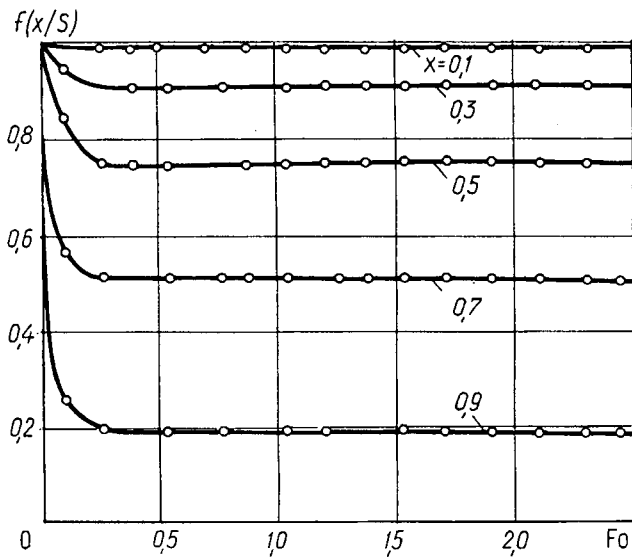


Рис. 8. Зависимость функции распределения  $f(x/S)$  от критерия Фурье при задании  $\theta_0 = 0,3$ ,  $Sk = 0,2$ ,  $m = 0,8$  для нескольких сечений нагреваемой плиты ( $X = 0,1, 0,3, 0,5, 0,7$  и  $0,9$ )

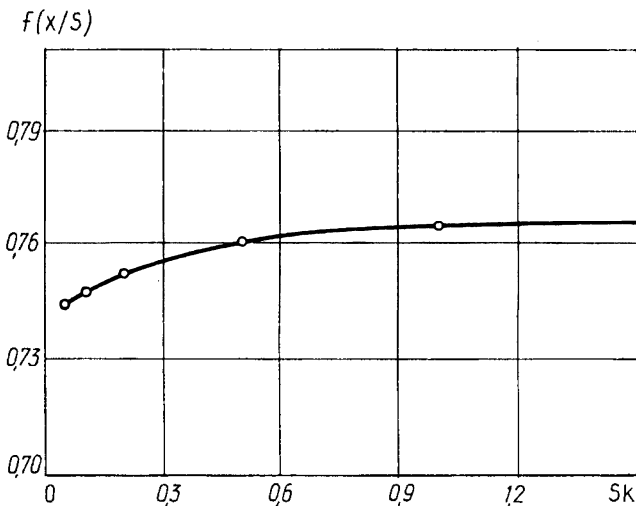


Рис. 9. Зависимость стабилизированных значений функции распределения от критерия Старка для сечения  $X = 0,5$  (при  $m = 0,8$ ,  $q_0 = 0,3$ )

1. Определяется значение температуры на поверхности заготовок в момент времени, соответствующий границе начала режима стабилизации температурного поля, т. е. при  $Fo = Fo_1 = 0,4$ . С этой целью можно использовать графики рис. 11, построенные на основании численного решения задачи (6)–(10).

2. Подсчитывается значение функций  $\varphi_1 = \varphi(\theta_{пов1})$  и  $\psi_1 = \psi(\theta_{пов1})$  по формулам (23) и (24) при значениях принятого отношения водяных чисел ( $m$ ) и найденного ранее (по п.1) значения начальной относительной температуры поверхности заготовки ( $\theta_{пов1}$ ).

3. Определяются значения параметров функции распределения  $m_0/n_0$  и  $n_0$  по графикам рис. 10 в зависимости от принятых значений критерия Старка ( $Sk$ ) и отношения водяных чисел ( $m$ ).

4. Подсчитываются значения среднemasовой температуры ( $\bar{\theta}_m$ ) и перепада температур по сече-

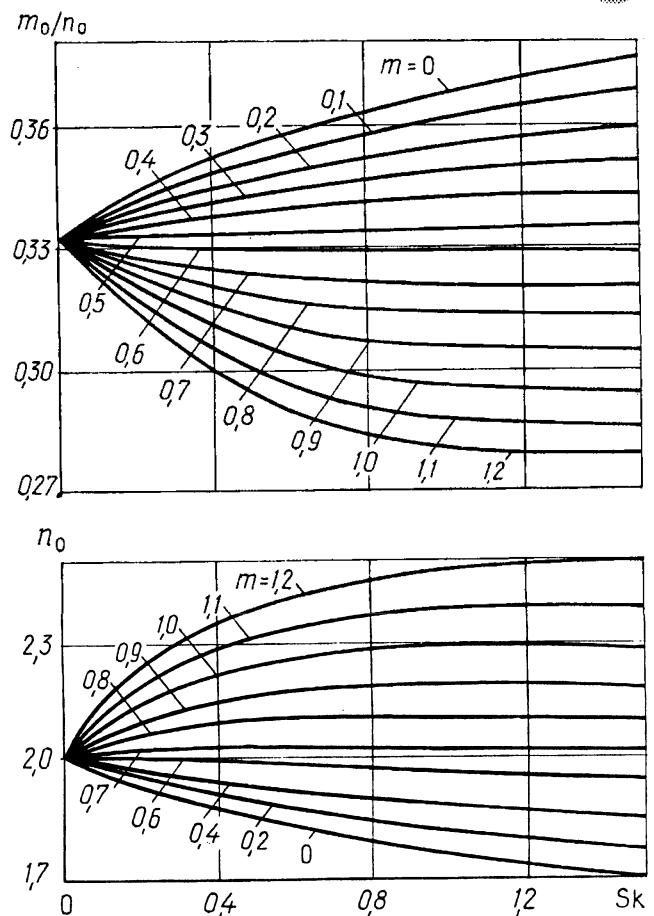


Рис. 10. Зависимость параметров функции распределения  $m_0/n_0$  и  $n_0$  от критерия Старка и отношения водяных чисел  $m$  для стабилизированного поля температур (при  $Fo \geq 0,3$ )

нию ( $\Delta\theta_m$ ) по формулам (20) и (21) для начального момента времени (при  $Fo = Fo_1$ ).

5. Принимается ряд значений относительной температуры поверхности заготовки  $\theta_{пов} = \theta_{пов2}$ ,  $\theta_{пов} = \theta_{пов3}$  и т. д., представляющие интерес для уточнения (определения) рациональных режимов нагрева металла в методической зоне печи.

6. По формулам (23) и (24) подсчитываются значения функций  $\varphi_2 = \varphi(\theta_{пов2})$  и  $\psi_2 = \psi(\theta_{пов2})$  при характерном для изучаемого процесса отношении водяных чисел ( $m$ ).

7. Используя известные значения критериев  $Sk$  и  $Fo_1$ , а также параметров  $m_0/n_0$  (см. рис. 10), подсчитываются значения правой части общего решения (22), а затем и значение критерия

$$Fo_2 = Fo_1 + \frac{\varphi_2 - \varphi_1}{Sk} + \frac{m_0}{n_0} (\psi_2 - \psi_1). \quad (25)$$

8. При известных значениях коэффициента теплопроводности материала  $a = \lambda/(\rho c)$  находят значение момента времени  $\tau_2 = \frac{S^2}{a_m} Fo_2$ , соответствующее принятому в подсчетах значению относительной температуры поверхности плиты ( $\theta_{пов2}$ ).

9. Для принятого значения относительной температуры поверхности плиты ( $\theta_{пов2}$ ) по формулам

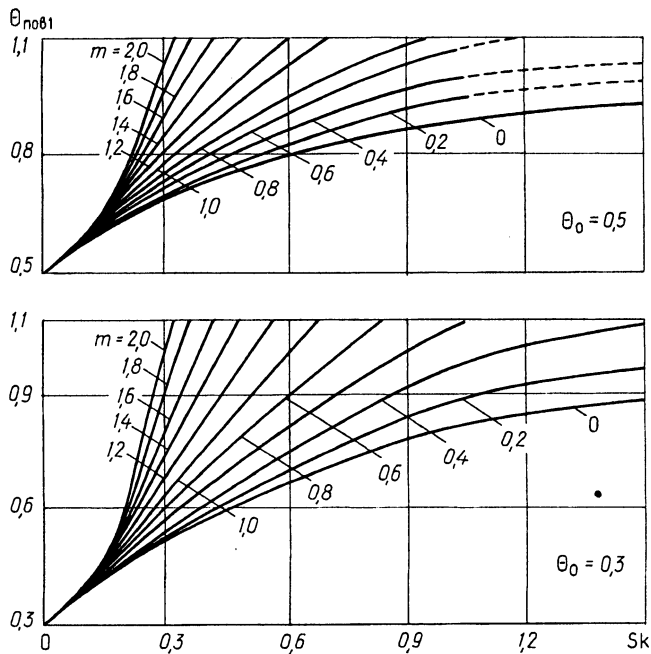


Рис. 11. Зависимость относительной температуры поверхности плиты ( $\theta_n$ ) от критерия Старка и величины параметра  $m$  при задании  $Fo = 0,4$  для двух значений относительной начальной температуры ( $\theta_0 = 0,3$  и  $0,5$ )

(20) и (21) подсчитываются соответствующие значения максимальной разности температур по сечению и среднemasовая температура плиты, а также относительная температура греющих газов

$$\theta_r = \theta_c + m\bar{\theta}_m$$

Аналогичные подсчеты повторяются для других значений относительной температуры на поверхности нагреваемых заготовок.

В заключение следует отметить, что изложенная упрощенная (инженерная) методика расчета нагрева металла излучением в теоретическом противотоке является обобщением аналогичной методики, опубликованной ранее [8, 9] и относящейся к заданию в расчетах неизменной температуры греющих газов при теплообмене на поверхности нагреваемых изделий путем излучения и конвекции.

**Литература**

1. Тайц Н. Ю., Розенгарт Ю. И. Методические нагревательные печи. 2-е изд., М.: Metallurgizdat, 1964.
2. Зобнин Б. Ф. Нагревательные печи (теория и расчет). М.: Машиностроение, 1964.
3. Справочник конструктора печей прокатного производства / А. Л. Бергауз, В. Л. Гусовский и др. М.: Metallургия. Т. 1. 1970.
4. Теплотехнические расчеты металлургических печей. 2-е изд. / Под ред. А. С. Телегина. М.: Metallургия, 1982.
5. Ростовский С. Е. Передача тепла излучением при противотоке (к теории методических нагревательных печей) // Теплотехника слитка и печей: Тр. ЦНИИЧМ. М.: Metallургиздат. Вып. 2 (5). 1953.
6. Иванов Г. П. Нагрев металла (теория и методы расчета). Свердловск; М.: Metallургиздат, 1948.
7. Кавадеров А. В. Тепловая работа пламенных печей. М.: Metallургиздат, 1956.
8. Кавадеров А. В., Блохин Е. П., Самойлович Ю. А. Расчет нагрева массивных тел при постоянной температуре излучателя // Сб. тр. Нагрев металла и работа нагревательных печей. Свердловск, 1960. №6.
9. Кавадеров А. В., Самойлович Ю. А. О расчетах нагрева массивных тел излучением // Сб. тр. Горение, теплообмен и процессы нагрева металла в печах. Свердловск, 1963. №10.